

УДК 539.3

В. Н. Долгих, Л. А. Фильштинский

### МОДЕЛЬ АНИЗОТРОПНОЙ СРЕДЫ, АРМИРОВАННОЙ ТОНКИМИ ЛЕНТАМИ

Теория волокнистых композиционных материалов (КМ) с регулярной структурой содержится в работах [1, 2, 5]. Свойства КМ, армированных лентами, исследуются в статьях [4, 9].

В данной статье результаты, полученные в работе [4], обобщаются на КМ с анизотропной матрицей.

§ 1. Рассмотрим упругую анизотропную среду, армированную двоякопериодической (в смысле геометрии и упругих характеристик) системой групп тонкостенных прямолинейных включений. Пусть среда обладает плоскостью упругой симметрии, а внешнее нагружение реализуется в виде средних напряжений  $\sigma^0_x$ ,  $\sigma^0_y$ ,  $\tau^0_{xy}$ , действующих в этой плоскости.

В случае плоской деформации такой среды будем говорить о поперечной (по отношению к направлению армирования) деформации КМ, армированного в направлении оси  $oz$  лентами. Плоское напряженное состояние указанной среды соответствует задаче о деформации неограниченной пластины, усиленной регулярной системой впаиных или клеенных тонких ребер (стрингеров), жесткость которых распределена симметрично относительно срединной плоскости пластины. В обоих случаях будем считать, что в плоскости  $xoy$  включение — одномерный континуум, работающий лишь на растяжение—сжатие, с жесткостью, значительно превышающей жесткость прилегающей среды.

Пусть  $\omega_1$  и  $\omega_2$  ( $\text{Im } \omega_1 = 0$ ;  $\text{Im } \omega_2/\omega_1 > 0$ ) — основные периоды структуры;  $D$  — область, занятая средой. Граница  $L$  области  $D$  состоит из конгруэнтных групп различных параллельных отрезков  $L_{mn}^j$  ( $j = 1, 2, \dots, k$ ;  $m, n = 0, \pm 1, \pm 2, \dots$ ), имеющих сосредоточенные жесткости на растяжение—сжатие (рис. 1). Внутри основного параллелограмма периодов  $UL_{00}^j = l_{00}$ , а в любом параллелограмме, конгруэнтном основному,  $UL_{mn}^j = l_{mn}^j \equiv l_{00} \pmod{\omega_1, \omega_2}$ . Отрезок  $L_{00}^j$  характеризуется концевыми точками  $a_j$  и  $b_j$  ( $\text{Im } a_j = \text{Im } b_j$ ;  $j = 1, 2, \dots, k$ ).

Задача заключается в изучении напряженного состояния среды и включений, а также в описании жесткости всей системы в целом. Поскольку толщина включений мала, считаем, что при переходе через  $L$  смещения  $u$ ,  $v$  и нормальные напряжения  $\sigma_y$  непрерывны, а касательные образуют скачок  $\tau_{xy}^+ - \tau_{xy}^- = -q_0(t)$ ,  $t \in L$  (значками «+» и «-» отмечены граничные значения, принимаемые соответственно на верхнем и нижнем берегах включения).

Из уравнения равновесия элемента включения единичной ширины (в направлении оси  $oz$ ) получаем выражение для погонного (на

единицу ширины зоны контакта в направлении оси  $oz$ ) нормального усилия в произвольном сечении включения

$$p(x) = - \int_x^{b_j} q_0(t) dt \quad (x \in L_{00}^j). \quad (1.1)$$

Комплексные потенциалы  $\Phi_\nu(z_\nu)$  ( $\nu=1, 2$ ), определяющие напряженное состояние в анизотропной среде [7] и удовлетворяющие условиям двоякопериодичности напряжений в  $D$ , а также обеспечивающие существование на  $L$  скачка касательных напряжений  $q_0(t)$ , представим в форме

$$\begin{aligned} \Phi_\nu(z_\nu) &= A_\nu \int_{l_{00}^{(\nu)}} q_0(t) \ln \sigma(z_\nu - t_\nu) dt_\nu + c_\nu z_\nu \quad (\nu=1, 2); \\ \text{Im } q_0(t) &= 0; \quad \int_{L_{00}^j} q_0(t) dt = 0 \quad (j=1, 2, \dots, k); \quad z_\nu = \text{Re } t + \mu_\nu \text{Im } t; \\ \text{Im}(A_1 + A_2) &= 0; \quad \text{Im}(\mu_1 A_1 + \mu_2 A_2) = (4\pi)^{-1}; \\ \text{Im}(\mu_1^2 A_1 + \mu_2^2 A_2) &= \frac{a_{16}}{a_{11}} \frac{1}{4\pi}; \quad \text{Im}\left(\frac{A_1}{\mu_1} + \frac{A_2}{\mu_2}\right) = -\frac{a_{12}}{a_{22}} \frac{1}{4\pi}. \end{aligned} \quad (1.2)$$

Здесь  $\sigma(z)$  — сигма-функция Вейерштрасса [3].

Вычисляя компоненты главного вектора усилий, действующих на гранях параллелограмма периодов, и полагая среднее вращение фундаментальной ячейки равным нулю, получаем

$$\begin{aligned} 2 \text{Re}(c_1 + c_2) &= \sigma_y^0 + 2 \text{Re}(\delta_1^{(1)} A_1 + \delta_1^{(2)} A_2) a / \omega_1; \\ 2 \text{Re}(\mu_1 c_1 + \mu_2 c_2) &= -\tau_{xy}^0 + 2 \text{Re}(\mu_1 \delta_1^{(1)} A_1 + \mu_2 \delta_1^{(2)} A_2) a / \omega_1; \\ 2 \text{Re}(\mu_1^2 c_1 + \mu_2^2 c_2) &= \sigma_x^0 + \frac{a}{\omega_1} \left[ \frac{1}{\text{Im } \omega_2} + 2 \text{Re}(\mu_1^2 \delta_1^{(1)} A_1 + \mu_2^2 \delta_1^{(2)} A_2) \right]; \\ 2 \text{Re} \left[ \left( \frac{a_{22}}{\mu_1} - \mu_1^3 a_{11} \right) c_1 + \left( \frac{a_{22}}{\mu_2} - \mu_2^3 a_{11} \right) c_2 \right] &= a_{26} \sigma_y^0 - a_{16} \sigma_x^0 + \\ + \frac{a}{\omega_1} \left\{ 2 \text{Re} \left[ \left( \frac{a_{22}}{\mu_1} - \mu_1^3 a_{11} \right) \delta_1^{(1)} A_1 + \left( \frac{a_{22}}{\mu_2} - \mu_2^3 a_{11} \right) \delta_1^{(2)} A_2 \right] - \frac{a_{16}}{\text{Im } \omega_2} \right\}; \\ a &= \int_{l_{00}} q_0(t) t dt; \quad \delta_1^{(k)} \omega_2^{(k)} - \delta_2^{(k)} \omega_1^{(k)} = 2\pi i; \\ \omega_\nu^{(k)} &= \text{Re } \omega_\nu + \mu_k \text{Im } \omega_\nu; \quad \delta_\nu^{(k)} = 2\zeta(\omega_\nu^{(k)}/2) \quad (\nu, k=1, 2). \end{aligned} \quad (1.3)$$

Коэффициенты  $a_{ij}$  ( $i, j=1, 2, 6$ ) характеризуют упругие свойства среды [7].

§ 2. Приравнивая деформацию  $e_x$  среды и включений на  $l_{00}$ , получаем систему сингулярных интегро-дифференциальных уравнений относительно  $q_0(t)$

$$\begin{aligned} \int_{l_{00}} K(t-t_0) q_0(t) dt + \beta_j^* \int_{t_0}^{b_j} q_0(t_j) dt_j + M\{q_0(t)\} &= f \quad (j=1, 2, \dots, k); \\ K(t-t_0) &= \frac{1}{\text{Re}(p_1 A_1 + p_2 A_2)} \text{Re}[p_1 A_1 \zeta(t_1 - t_{10}) + p_2 A_2 \zeta(t_2 - t_{20})]; \end{aligned} \quad (2.1)$$

$$M\{q_0(t)\} = - \frac{a}{2\omega_1 \operatorname{Re}(p_1 A_1 + p_2 A_2)} \left[ - \frac{a_{11}}{\operatorname{Im} \omega_2} + 2 \operatorname{Re}(p_1 A_1 \delta_1^{(1)} + p_2 A_2 \delta_1^{(2)}) \right];$$

$$f = \frac{a_{11} \sigma_x^0 + a_{12} \sigma_y^0 + a_{16} \tau_{xy}^0}{2 \operatorname{Re}(p_1 A_1 + p_2 A_2)};$$

$$\beta_j^* = \begin{cases} \frac{1}{2 \operatorname{Re}(p_1 A_1 + p_2 A_2)} \frac{\delta}{E_j F_j} & \text{— для пластинки со стрингерами;} \\ \frac{1}{2 \operatorname{Re}(p_1 A_1 + p_2 A_2)} \frac{1}{E_j d_j} & \text{— для композиционного материала.} \end{cases}$$

Здесь  $\delta$  — толщина пластинки;  $E_j$  — модуль Юнга  $j$ -го включения;  $d_j$  — толщина ленты;  $F_j$  — площадь поперечного сечения  $j$ -го стрингера.

К системе (2.1) необходимо присовокупить условия равновесия включений

$$\int_{L_{00}^j} q_0(t) dt = 0 \quad (j = 1, 2, \dots, k). \quad (2.2)$$

Пусть в пределах параллелограмма периодов имеется лишь одно включение длиной  $2l$  ( $k=1$ ,  $a_1=-l$ ,  $b_1=l$ ). Разлагая дзета-функцию в степенной ряд, получаем сингулярное интегро-дифференциальное уравнение вида

$$\int_{-1}^1 \frac{q(\xi) d\xi}{\xi - \xi_0} - \sum_{j=0}^{\infty} \left( \frac{\lambda}{2} \right)^{2j+2} \Lambda_j \int_{-1}^1 q(\xi) (\xi - \xi_0)^{2j+1} d\xi -$$

$$- \beta \int_{\xi_0}^1 q(\xi) d\xi = f \quad (-1 \leq \xi_0 \leq 1); \quad q(\xi) = q_0(t);$$

$$\Lambda_0 = \frac{\omega_1}{2 \operatorname{Re}(p_1 A_1 + p_2 A_2)} \left[ \frac{a_{11}}{\operatorname{Im} \omega_2} + 2 \operatorname{Re}(p_1 A_1 \delta_1^{(1)} + p_2 A_2 \delta_1^{(2)}) \right]; \quad (2.3)$$

$$\Lambda_j = \frac{\operatorname{Re}(p_1 A_1 g_{j+1}^{(1)} + p_2 A_2 g_{j+1}^{(2)})}{\operatorname{Re}(p_1 A_1 + p_2 A_2)}; \quad g_{j+1}^{(v)} = \sum_{m,n} \frac{1}{(m+n\omega_2^{(v)}/\omega_1)^{2j+2}};$$

$$f = \frac{a_{11} \sigma_x^0 + a_{12} \sigma_y^0 + a_{16} \tau_{xy}^0}{2 \operatorname{Re}(p_1 A_1 + p_2 A_2)}; \quad \lambda = \frac{2l}{\omega_1}; \quad \xi = \frac{t}{l};$$

$$\beta = \begin{cases} \frac{1}{2 \operatorname{Re}(p_1 A_1 + p_2 A_2)} \frac{\delta l}{E_1 F_1} & \text{— для пластинки со стрингерами;} \\ \frac{1}{2 \operatorname{Re}(p_1 A_1 + p_2 A_2)} \frac{l}{E_1 d_1} & \text{— для композиционного материала.} \end{cases}$$

Штрих у знака суммы означает, что суммирование распространяется на все  $m, n$ , за исключением  $m=n=0$ .

Для получения численного решения уравнения (2.3) можно воспользоваться квадратурными формулами, приведенными в работах [4, 6].

§ 3. Для определения макроскопических упругих параметров армированной среды найдем закон связи между средними напряжениями и средними деформациями в структуре.

Введем средние деформации параллелограмма периодов [8]

$$\begin{aligned} \langle e_x \rangle &= \frac{1}{\omega_1} u|_z^{z+\omega_1}; \quad \langle e_y \rangle = \frac{1}{|\omega_2| \sin \alpha} v|_z^{z+\omega_2} - \frac{\operatorname{ctg} \alpha}{\omega_1} v|_z^{z+\omega_1}; \\ \langle \gamma_{xy} \rangle &= \frac{1}{|\omega_2| \sin \alpha} u|_z^{z+\omega_2} + \frac{1}{\omega_1} v|_z^{z+\omega_1} - \frac{\operatorname{ctg} \alpha}{\omega_1} u|_z^{z+\omega_1}; \quad \alpha = \arg \omega_2, \end{aligned} \quad (3.1)$$

где  $u|_z^{z+\omega_v}$  обозначает приращение функции  $u(z)$  при переходе от точки  $z$  к точке  $z + \omega_v$  ( $v = 1, 2$ ).

Решение уравнения (2.3) можно записать

$$q(\xi) = (a_{11}\sigma_x^0 + a_{12}\sigma_y^0 + a_{16}\tau_{xy}^0) \tilde{q}(\xi), \quad (3.2)$$

причем  $\tilde{q}(\xi)$  — решение (2.3) при  $f = [2 \operatorname{Re}(p_1 A_1 + p_2 A_2)]^{-1}$ .

Отсюда следует, что

$$a = l^2 (a_{11}\sigma_x^0 + a_{12}\sigma_y^0 + a_{16}\tau_{xy}^0) \tilde{a}; \quad \tilde{a} = \int_{-1}^1 \tilde{q}(\xi) \xi d\xi. \quad (3.3)$$

Вычисляя в (3.1) приращения правых частей и учитывая (1.3), получаем закон связи между средними деформациями и средними напряжениями в структуре

$$\begin{aligned} \langle e_x \rangle &= \frac{1}{\langle E_{11} \rangle} \sigma_x^0 - \frac{\langle \nu_{12} \rangle}{\langle E_{22} \rangle} \sigma_y^0 + \frac{\langle \eta_{1,12} \rangle}{\langle G_{12} \rangle} \tau_{xy}^0; \quad \langle e_y \rangle = -\frac{\langle \nu_{21} \rangle}{\langle E_{11} \rangle} \sigma_x^0 + \\ &+ \frac{1}{\langle E_{22} \rangle} \sigma_y^0 + \frac{\langle \eta_{2,12} \rangle}{\langle G_{12} \rangle} \tau_{xy}^0; \quad \langle \gamma_{xy} \rangle = \frac{\langle \eta_{12,1} \rangle}{\langle E_{11} \rangle} \sigma_x^0 + \frac{\langle \eta_{12,2} \rangle}{\langle E_{22} \rangle} \sigma_y^0 + \frac{1}{\langle G_{12} \rangle} \tau_{xy}^0. \end{aligned} \quad (3.4)$$

Макроскопические упругие параметры здесь имеют вид

$$\begin{aligned} \frac{1}{\langle E_{11} \rangle} &= a_{11}(1 + a_{11}a_0); \quad \frac{\langle \nu_{12} \rangle}{\langle E_{22} \rangle} = -a_{12}(1 + a_{11}a_0); \\ \frac{\langle \eta_{1,12} \rangle}{\langle G_{12} \rangle} &= a_{16}(1 + a_{16}a_0); \quad \frac{1}{\langle E_{22} \rangle} = a_{22} \left( 1 + \frac{a_{12}^2}{a_{22}} a_0 \right); \\ \frac{\langle \eta_{2,12} \rangle}{\langle G_{12} \rangle} &= a_{26} \left( 1 + \frac{a_{12}a_{16}}{a_{26}} a_0 \right); \quad \frac{1}{\langle G_{12} \rangle} = a_{66} \left( 1 + \frac{a_{16}^2}{a_{66}} a_0 \right); \end{aligned} \quad (3.5)$$

$$a_0 = \left( \frac{\lambda}{2} \right)^2 \frac{\omega_1 \tilde{a}}{|\omega_2| \sin \alpha}; \quad \alpha = \arg \omega_2; \quad \langle \nu_{12} \rangle \langle E_{11} \rangle = \langle \nu_{21} \rangle \langle E_{22} \rangle;$$

$$\langle \eta_{1,12} \rangle \langle E_{11} \rangle = \langle \eta_{12,1} \rangle \langle G_{12} \rangle; \quad \langle \eta_{2,12} \rangle \langle E_{22} \rangle = \langle \eta_{12,2} \rangle \langle G_{12} \rangle.$$

Рассмотрим пример. Пусть пластинка из стеклопластика АГ-4С ( $E_{11} = 2,06 \times 10^{10}$  Па;  $E_{22} = 1,57 \times 10^{10}$  Па;  $\nu_{12} = 0,07$ ;  $G_{12} = 4,12 \times 10^9$  Па) усилена стрингерами в направлении, составляющем угол  $\pi/6$  с направлением наибольшей жесткости. Пластина нагружена усилиями  $\sigma_x^0 = 1$ ,  $\sigma_y^0 = \tau_{xy}^0 = 0$ . Распределение «усилий»

$$P^*(\xi) = \frac{p(l\xi)}{l} = - \int_{\xi}^1 q'_i(\xi) d\xi \quad (\xi = t/l)$$

по полудлине стрингера в зависимости от относительного размера области  $\lambda = 2l/\omega_1$  и параметра  $\Omega = \delta l/(a_{11}E_1F_1)$  изображено на рис. 2 (кривые 1, 2, 3 соответствуют значениям  $\lambda = 0, 1; 0,8; 0,98$ ). Изменение макроскопических упругих параметров в функции от тех же величин показано на рис. 3, причем на верхнем поле рисунка (выше единицы) сплошные линии —  $\langle E_{11} \rangle / E_{11}$ , штриховые —  $\langle E_{22} \rangle / E_{22}$ , на нижнем поле сплошные линии —

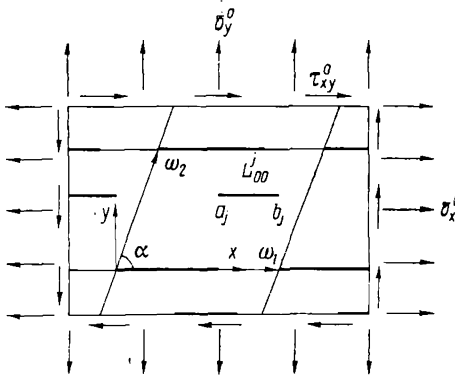


Рис. 1

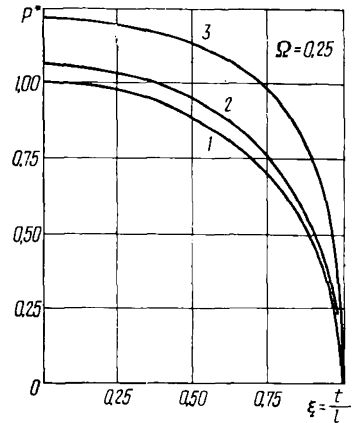


Рис. 2

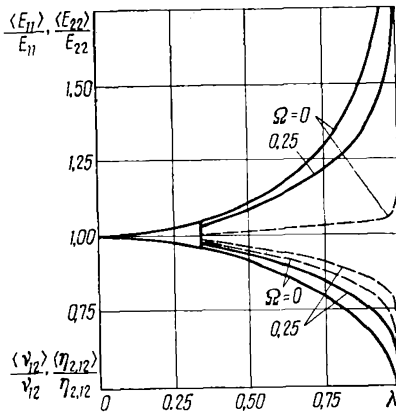


Рис. 3

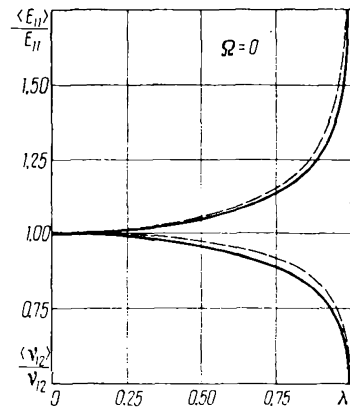


Рис. 4

$\langle \nu_{12} \rangle / \nu_{12}$ , штриховые —  $\langle \eta_{2,12} \rangle / \eta_{2,12}$ . Значения  $\langle G_{12} \rangle / G_{12}$ ,  $\langle \eta_{1,12} \rangle / \eta_{1,12}$  мало отличаются соответственно от  $\langle E_{22} \rangle / E_{22}$ ,  $\langle \nu_{12} \rangle / \nu_{12}$  и на рисунке не показаны. Расчеты проводились для  $\omega_2 = 1,35i\omega_1$ .

На рис. 4 дано сравнение результатов расчетов эффективных упругих модулей  $\langle E_{11} \rangle / E_{11}$ ,  $\langle \nu_{12} \rangle / \nu_{12}$  по предлагаемой в настоящей статье методике (сплошные линии) с результатами точной теории КМ с волокнами произвольного поперечного сечения (штриховые линии) [5]. Расчеты проводились для пластины из АГ-4С, усиленной в направлении наибольшего модуля упругости бесконечно жесткими стрингерами,  $\Omega = 0$  (сплошные линии). Штриховыми линиями обозначены результаты расчетов для бесконечно жестких эллиптических включений при отношении большой полуоси эллипса к малой 10. Толщина включения равна толщине пластины,  $\omega_2 = 2i\omega_1$ . Результаты для остальных макро-

скопических модулей при  $\lambda=0,98$  отличаются не более чем на 3,8%.

§ 4. В заключение приведем соображения о корректности принятой модели контакта, для этого покажем, что характер особенности в касательных напряжениях в данной постановке и в точном решении один и тот же; усилие, передаваемое  $j$ -му включению через торцы  $a_j$ ,  $b_j$ , равно нулю.

Для этого проанализируем точное решение задачи теории упругости для эллиптического включения в анизотропной среде под действием однородного поля напряжений на бесконечности [10]. В данном случае потенциалы для среды запишем в виде

$$\Phi_m(z_m) = -\frac{d_m}{\sqrt{z_m^2 - l^2 - \mu_m^2 b^2}} \frac{l - i\mu_m b}{(z_m + \sqrt{z_m^2 - l^2 - \mu_m^2 b^2})} + c_m \quad (m = 1, 2) \quad (4.1)$$

Здесь  $l$ ,  $b$  — горизонтальная и вертикальная полуоси эллипса;  $c_m$ ,  $d_m$  — постоянные, зависящие от однородного поля напряжений на бесконечности, упругих и геометрических характеристик среды и включения.

Переходя в выражении (4.1) и соотношениях для  $d_m$  к пределу при  $b$ , стремящемся к нулю, получаем комплексные потенциалы для анизотропной среды с упругим включением на отрезке  $[-l, l]$ . Вычисляя компоненту  $X$  главного вектора усилий, действующих со стороны среды на часть включения длиной  $[t, l]$ , получаем

$$X = \int_t^l (\tau_{xy}^+ - \tau_{xy}^-) dx + r \int_\gamma (\sigma_x \cos \theta + \tau_{xy} \sin \theta) d\theta, \quad (4.2)$$

где  $\gamma$  — круговой контур малого радиуса  $r$ , охватывающий точку  $+l$ ;  $\theta$  — угловая координата точки на контуре  $\gamma$ .

Можно показать, что при  $r \rightarrow 0$  второй интеграл в (4.2) обращается в нуль. Проводя необходимое интегрирование, получаем

$$X = \int_t^l (\tau_{xy}^+ - \tau_{xy}^-) dx = 4 \sqrt{1 - \left(\frac{t}{l}\right)^2} \operatorname{Im} \sum_{m=1}^2 \mu_m d_m. \quad (4.3)$$

Постоянная интегрирования в этой формуле, определенная из условия равновесия включения, равна нулю.

Из формул (4.1) и (4.3) следует:

1. Характер особенностей касательных напряжений на концах включений в точной и обсуждаемой постановках совпадает.

2. Усилие, передаваемое через торец включения, равно нулю, что подтверждает результаты работы [11].

Макроскопические упругие параметры, полученные из точного и приближенного решения, практически совпадают (см. рис. 4). Отсюда вытекает, что для указанного отношения полуосей эллипса макропараметры весьма слабо зависят от относительной толщины включения, что говорит в пользу модели контакта по линии.

#### ЛИТЕРАТУРА

1. Ван Фо Фы Г. А. Теория армированных материалов с покрытиями.— Киев: Наук. думка, 1971.— 229 с.
2. Грингауз М. Г., Фильштинский Л. А. Теория упругого линейно-армированного композиционного материала.— Прикл. математика и механика, 1975, 39, № 3, с. 537—546.
3. Гурвиц А., Курант Р. Теория функций.— М.: Наука, 1968.— 648 с.

4. Долгих В. Н., Фильштинский Л. А. Об одной модели регулярной кусочно-неоднородной среды.—Изв. АН СССР. Механика твердого тела, 1976, № 2, с. 158—164.
5. Долгих В. Н., Фильштинский Л. А. Теория линейно-армированного композиционного материала с анизотропными компонентами структуры.—Изв. АН СССР. Механика твердого тела, 1978, № 6, с. 53—63.
6. Каландия А. И. О приближенном решении одного класса сингулярных интегральных уравнений. Докл. АН СССР, 1959, 125, № 4, с. 715—718.
7. Лехницкий С. Г. Анизотропные пластинки.—М.; Л.: Гостехиздат, 1947.—355 с.
8. Фильштинский Л. А. К теории упругих неоднородных сред с регулярной структурой.—Прикл. математика и механика, 1973, 37, № 2, с. 262—273.
9. Chen P. E., Nielsen L. E. Mechanical properties of tape composites, Kolloid — Zeitschrift und Zeitschrift für Polymere, 1969, 235, N 1, p. 1174—1181.
10. Chen W. T. On an elliptic elastic inclusion in an anisotropic medium. Quart. Journ. Mech. and applied math., 1967, 20, N 3, p. 307—313.
11. Muki R., Sternberg E. On the diffusion of load from a transverse tension bar into a semiinfinite elastic sheet.—Trans. ASME. Ser. E, 1968, 35, N 4, p. 737—746.

Сумский филиал  
Харьковского политехнического института

Поступила  
10.I 1977 г.